

GERMINOMA INTRACRANEAL: PRESENTACIÓN CLÍNICA Y HALLAZGOS IMAGENLÓGICOS.

Juan Carlos MONTER MELO,
Marcela VALENZULEA, Estefanía
Eugenia BARLOQUI, Luis Enrique
MENA.

Servicio de diagnóstico por imágenes hospital
Nacional profesor Alejandro Posadas

INTRODUCCION

Los tumores de células germinales se pueden presentar en tejido extragonadal, la presentación del sistema nervioso central es relativamente rara, se ubica particularmente en la línea media cerca al tercer ventrículo, región pineal, supraselar, tallo hipofisario y menos frecuente en los ganglios basales bilaterales o unilaterales

OBJETIVOS

Identificar las características imagenológicas del germinoma y sus posibles diagnósticos diferenciales.

Reconocer su presentación clínica y los datos relevantes para relacionarlos con los hallazgos imagenológicos.

GERMINOMA INTRACRANEAL

El germinoma representa el 2-4 % de los tumores del sistema nervioso central, se presenta en pacientes jóvenes menores de 20 años en el 90 %, con un pico entre los 10-12 años.

El germinoma tiene predilección a la línea media y el 80-90 % se encuentran cerca al tercer ventrículo.

Otras localizaciones son los ganglios de la base o talamo, y puede tener diseminación al líquido cefalorraquídeo.

GERMINOMA INTRACRANEAL

Su clínica depende de su localización:

- Alteraciones visuales por compresión del quiasma, el síndrome de Parinaud (parálisis de la mirada hacia arriba y convergencia alterada),
- Cefalea por compromiso tectal
- Alteración del crecimiento, pubertad precoz por disfunción hipotalámico-hipofisaria
- La localización supraselar se asocia a **diabetes insípida** por compresión del tallo (**alta sospecha**)

HALLAZGOS DE LABORATORIAS

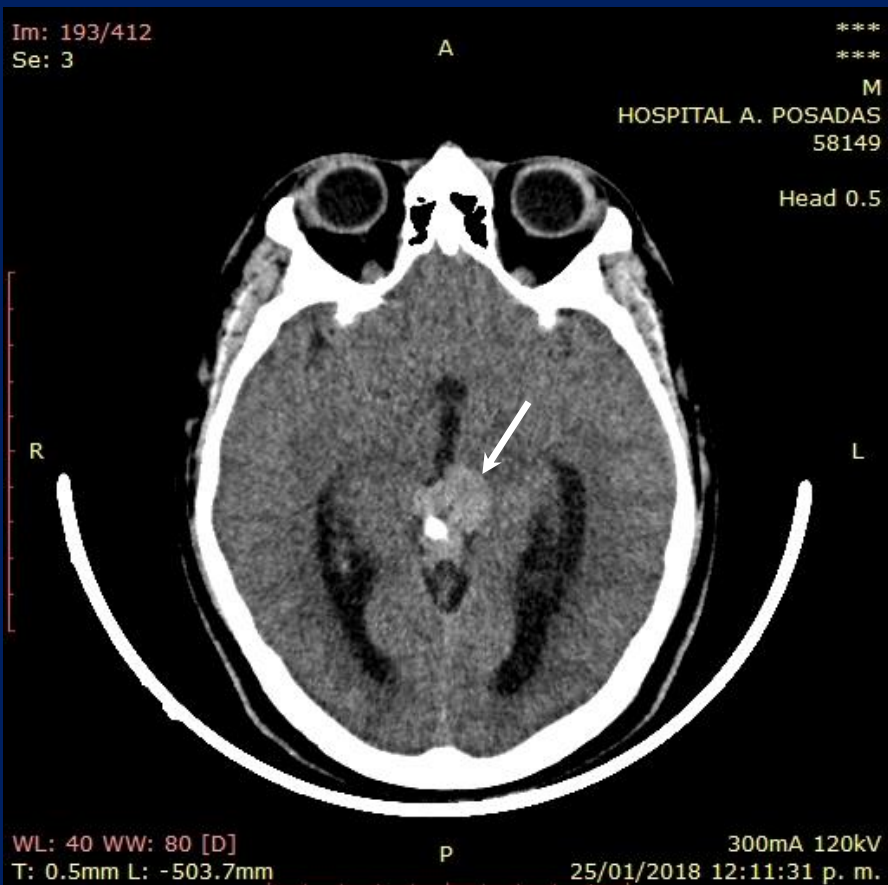
- Fosfatasa alcalina placentaria elevada.
- Elevación de la subunidad beta de la gonadotropina corionica humana en suero y liquido céfaloaraquídeo

DIAGNOSTICO DIFERENCIALES

Otros lesiones de la línea media, como son los de la región pineal (astrocitoma, metástasis, retinoblastoma) y región supraselar (tumor neuroectodermico primitivo TNEP), hamartoma, quiste aracnoideo supraselar metástasis.

HALLAZGOS INMAGENLOGICOS EN TC

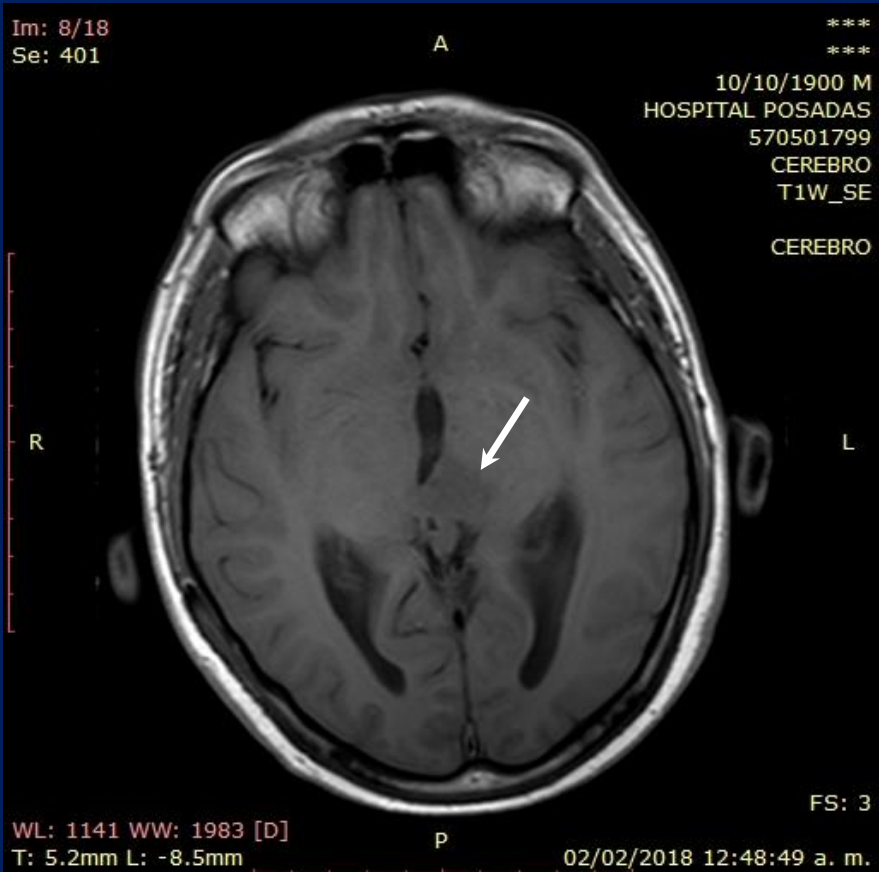
TC se observa como una masa hiperdensa, circunscripta que presenta un realce homogéneo intenso tras el contraste endovenoso, se ubica en la región pineal y tiende a englobarla, o como una masa en región supraselar.



TC sin cte imagen axial donde se observa una masa en línea media, en la región pineal circunscripta espontáneamente densa.

HALLAZGOS INMAGENLOGICOS RM

En la resonancia magnética en T1 y T2 se comporta isointensos -hiperintensos respecto a la sustancia gris, puede presentar focos quísticos de forma común y en menor medida focos hemorrágicos, presenta restricción de la difusión por su alta celularidad.



T1 axial lesión hipo –isointensa en relación a la sustancia gris.

HALLAZGOS INMAGENLOGICOS RM



T2 se comporta isointensos -hiperintensos respecto a la sustancia gris

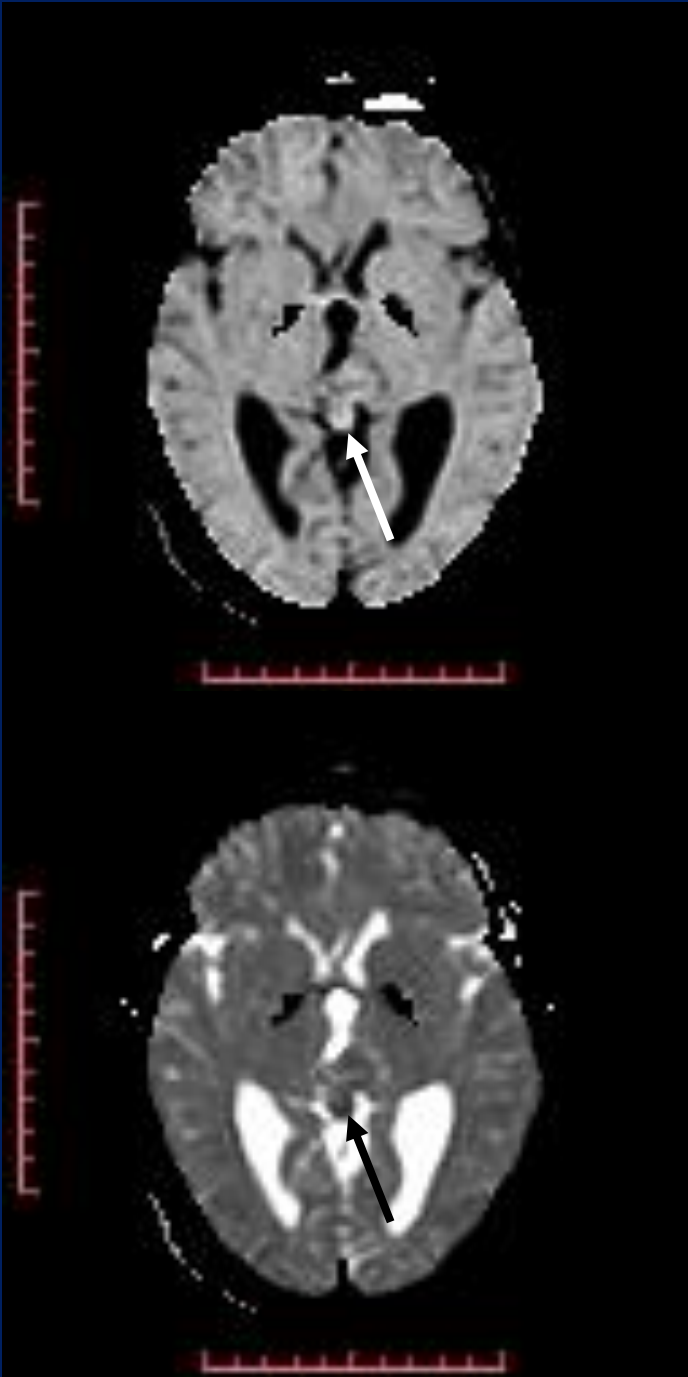


T1 con cte realce homogéneo.

HALLAZGOS INMAGENLOGICOS

RM

Restricción de la difusión por su alta celularidad.



CONCLUSIONES

Ante un paciente joven que cursa con diabetes insípida con evidencia de masa supraselar una de nuestras primeras sospechas diagnosticas a considerar será le germinoma, también se ha de sospechar en aquellas masa de la línea media en pacientes jóvenes, a pesar de su baja frecuencia, con la clínica y las características imagenológicas podemos orientar de forma apropiada el diagnostico.

BIBLIOGRAFIA

- Anne G. Osborn , Karen L. Salzman, and James Barkovich, Dianostico por Imagen Cerebro, editorial Marban. 2011.
- Teruko Ueno, MD, Yumiko Oishi Tanaka, MD, Michio Nagata, MD Hajime Tsunoda, MD, Izumi Anno, MD, Shigemi Ishikawa, MD Koji Kawai, MD , Yuji Itai, MD, Spectrum of Germ Cell Tumors: From Head to Toe, RadioGraphics 2004; 24:387–404, Published online 10.1148/rg.242035082

BIBLIOGRAFIA

- Alice Boyd Smith, Lt Col, USAF MC Elisabeth J. Rushing, COL, MC, USA James G. Smirniotopoulos, Lesions of the Pineal Region: Radiologic- Pathologic Correlation MD RadioGraphics 2010; 30:2001–2020
Published online [10.1148/rg.307105131](https://doi.org/10.1148/rg.307105131)